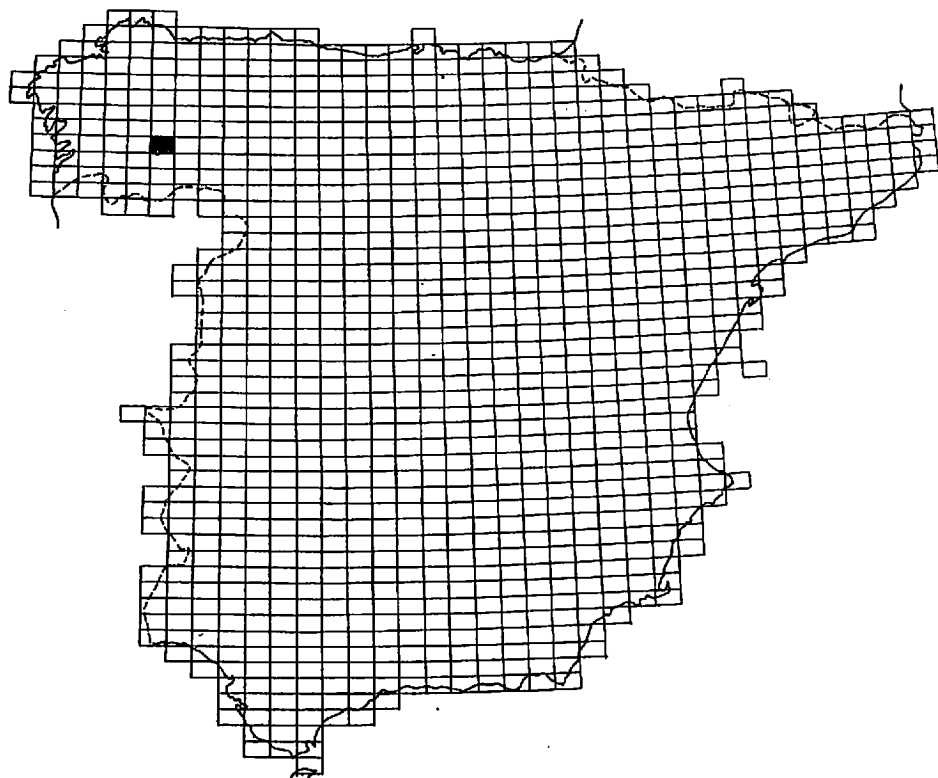


**GEOTEHIC S.A.**  
INGENIEROS CONSULTORES

20189

**MAPA GEOLOGICO NACIONAL**  
**Escala 1:50.000**  
**MAGNA**



PUEBLA DE TRIVES (08-10)  
DOCUMENTACIÓN COMPLEMENTARIA  
DOSIER DE FOTOGRAFÍAS

20189

DOCUMENTACION COMPLEMENTARIA

• PUEBLA DE TRIVES (08-10)

DOSIER DE FOTOGRAFIAS



Disyunción en pincel de las pizarras del Silúrico (S) por la presencia de dos esquistosidades subparalelas. Estación 593.



Alternancia de pizarras y cuarcitas del Silúrico (S). Estación. 580.

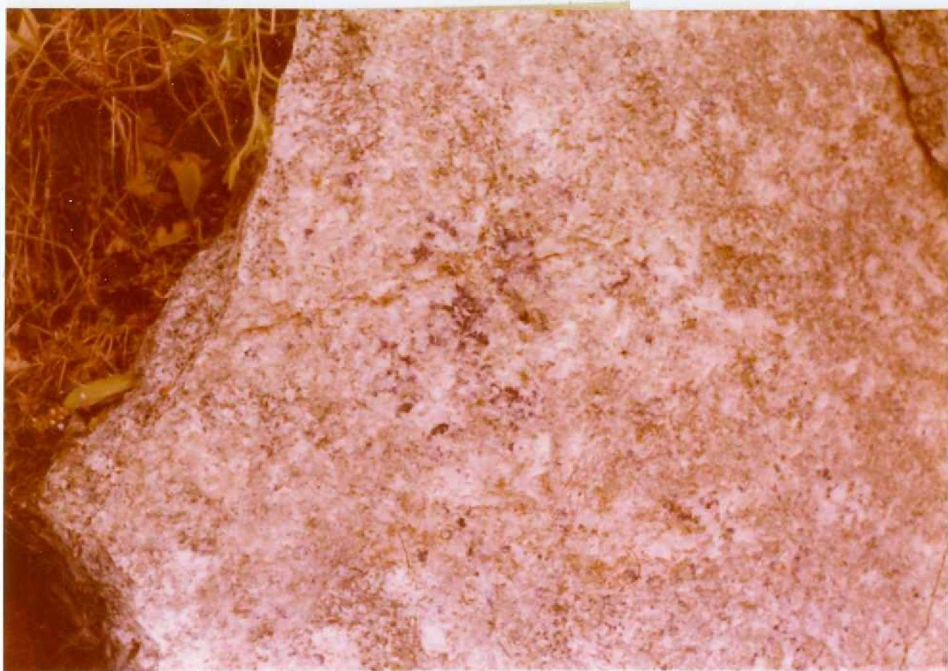


Aspecto de detalle del “Ollón de Sapo” de grano grueso (PC $\zeta$ ). Estación 667.

Segregaciones de cuarzo y feldespato en “Ollón de Sapo” de grano grueso (PC $\zeta$ ) metatexico. Estación. 666.

20189





Cristales de amatista en la granodiorita precoz en su facies común de granulometría uniforme. Estación 90



Neis granular de grano grueso (PC $\zeta$ ) con fusión parcial de minerales leucocratos (metatexita). Estación 105.





Esquisto microconglomerático de la base del Ordovicico inferior ( $O_{11}P$ ), con gran cantidad de cuarzos azules. Estación 229.



Neis metatexico de “Ollo de Sapo” ( $PC\zeta$ ) con algunas venas de granitos anatexicos.



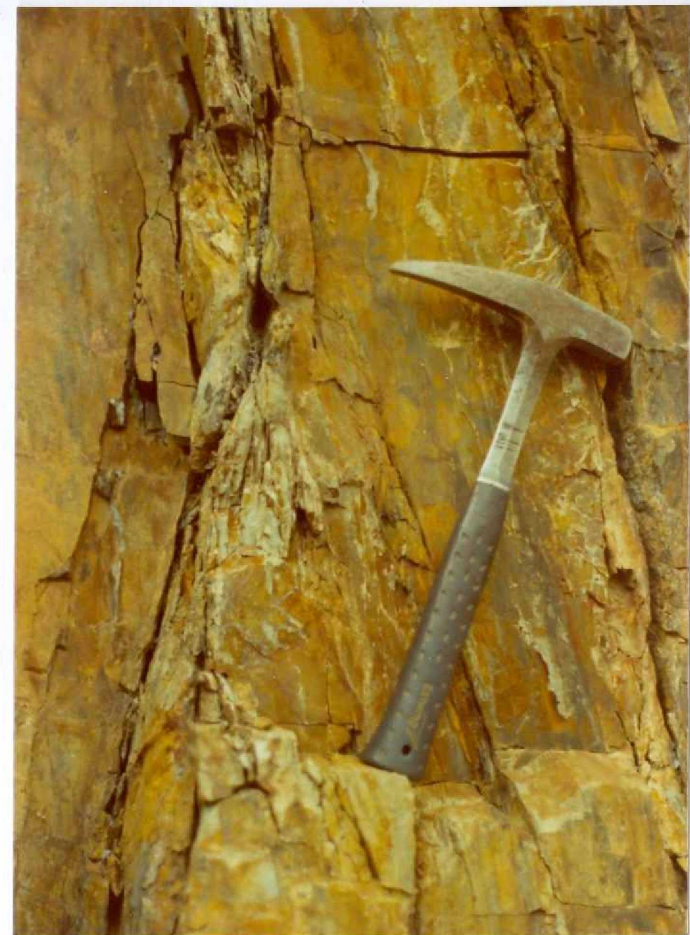
Conglomerado terciario ( $T_c^B g$ ) con un gran canto de riolita.  
Estación 121.



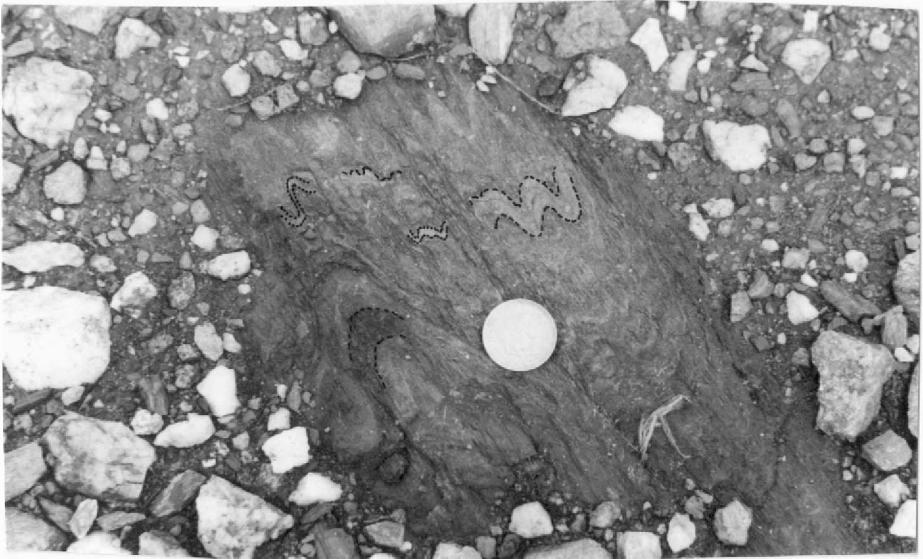
Intercalaciones cuarcíticas en las pizarras del Ordovícico inferior ( $O_{11}P$ ). Estación 137.



Repliegues de F2, de plano axial subvertical, en las pizarras del Ordovícico inferior ( $O_{11}P$ ). Estación 137.



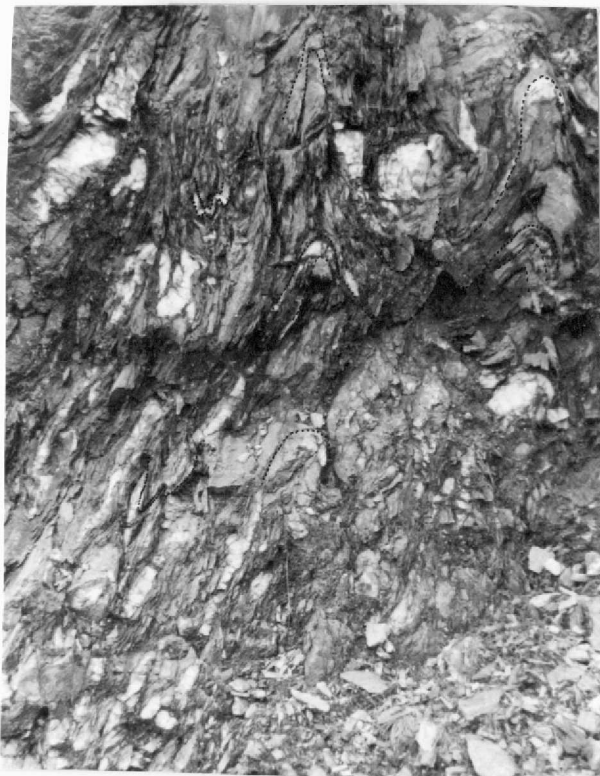
Detalle de charuela de F1, de plano axial subvertical en la cuarcita armoricana ( $O_{1-2}$ ). Estación 6.



Micropliegues de F2 en los esquistos del Ordovicico inferior ( $O_{11}P$ ). Estación 235.



Relación entre S0 (.....), S1 (- - -) y S2 (- - - -). Repliegues de F2 en un diquecillo de cuarzo de segregación de las pizarras de Luarca ( $O_{2-3}$ ). Estación 392.



Repliegues de F2, de plano axial subvertical en las alterancias de cuarcitas y esquistos del Ordovicico inferior ( $O_{11}P$ ). Estación 243.



Pliegues de F2, de plano axial subvertical en las pizarras del Ordovicico inferior ( $O_{11}P$ ). Estación 238.



Repliegues de F2 en un dique de segregación de cuarzo en las pizarras del Ordovicico inferior ( $O_{11}P$ ). Estación 273.



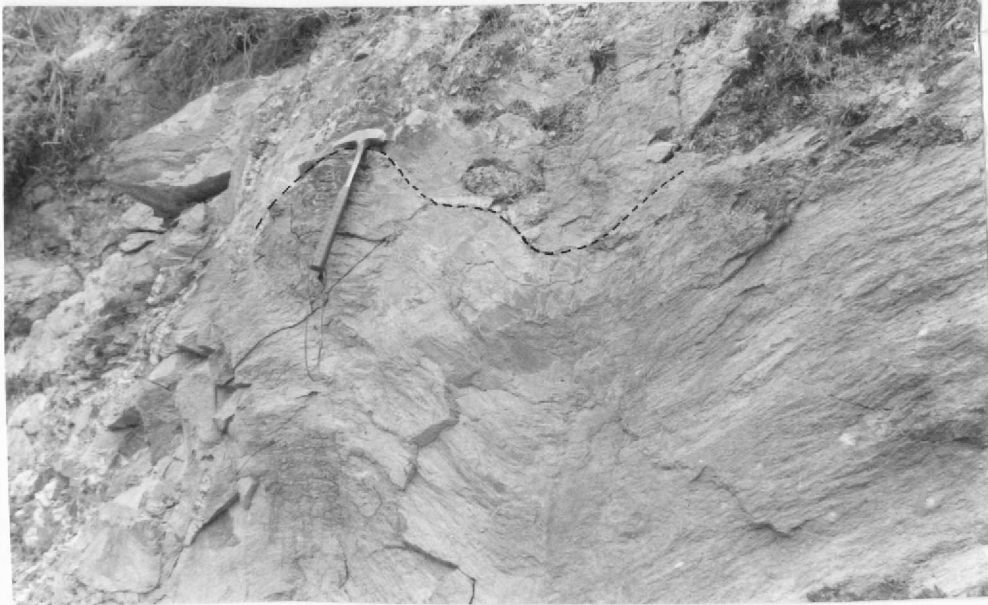
Pliegue de F2, de plano axial subhorizontaontal en un tramo cuarcítico del Ordovicico infe - rior ( $O_{11}P$ ). Estación 669.



Pliegues de F2, de plano axial subvertical, en un flanco normal de F1, en el conjunto de las alternancias de pizarras y cuarcitas del Ordovícico inferior ( $O_{11}P$ ). Estación 670.



Flanco invertido de F1 de cuarcita armoricana ( $O_{1-2}$ ) retocado por pliegues de F2 de plano axial subhorizontal. Estación 408.



Repliegues de F2, con pliegues cilíndricos de plano axial subvertical en el “Ollón de Sapo” de grano grueso (PC $\zeta$ ). Estación 424.



Charnelas de dirección N–150, con plano axial subhorizontal (posiblemente de F1), en un conjunto de alternancias de líticas y pizarras del Silúrico–Carbonífero (S–H). Estación 525.



Pliegues cilíndricos de plano axial subhorizontal en un conjunto de alterancias de pizarras y grauwackas del Silúrico–Carbonífero (S–H<sub>1</sub>). Estación 463.



Charnelas de dirección N–150, con plano axial subhorizontal (posiblemente de F1), en las alternancias de leditas y pizarras del Silúrico–Carbonífero (S.H<sub>1</sub>). Estación 525.



Pliegues de F2 de plano axial subvertical, en una intercalación cuarcítica de las pizarras del Silúrico. (S). Estación 534.



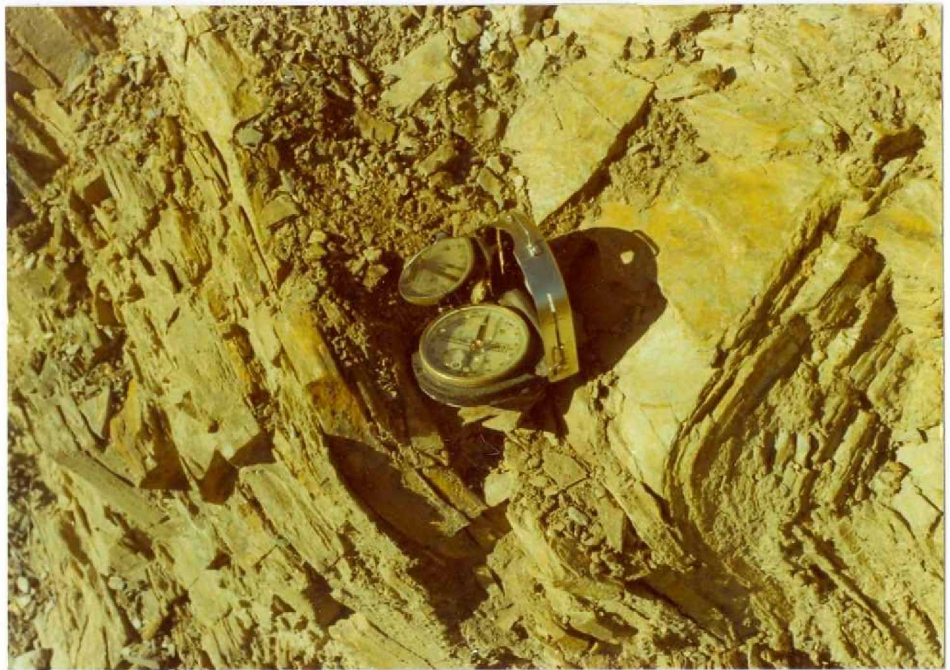
Pliegues a escala microscópica, de F2, en las pizarras del Silúrico (S). Estación 574.



Piegues de F1, retocados por F2, de plano axial subvertical, en la cuarcita armoricana (Or-2). Estación 137.



Piegues de F1, de plano axial subvertical, posiblemente retocado por F2, en la cuarcita armoricana (O<sub>1-2</sub>). Estación 6.



Plegue de plano axial subhorizontal en los esquistos con cloritoide del Silurico (S). Estación 112.



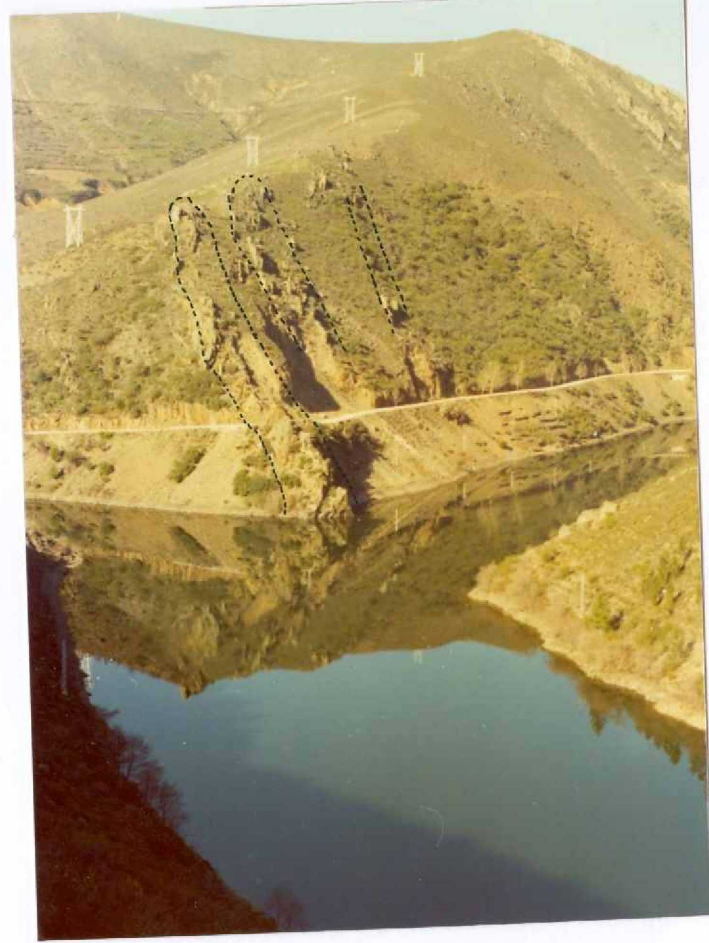
Gran pliegue de F2 de plano axial subhorizontal en las pizarras de Luarca (O<sub>2-3</sub>). Estación 1.



Contacto entre la formación de neises porfiroides (PCG), a la izquierda, y las pizarras del Ordovicico inferior (O<sub>11</sub>P), a la derecha. Estación 672.



Repliegues de F1, de plano axial subvertical, en las pizarras del Ordovicico inferior ( $O_{11}P$ ) y en la cuarcita armoricana ( $O_{1-2}$ ).



Repliegues de F1, de plano axial subvertical en la cuarcita armoricana ( $O_{1-2}$ ). Estación 671.



Aspecto de los relieves excavados por el río Bibey en las pizarras del Ordovicico inferior ( $O_{11}P$ ); en primer término niveles de cuarcita armoricana ( $O_{1-2}$ ). Estación 6.



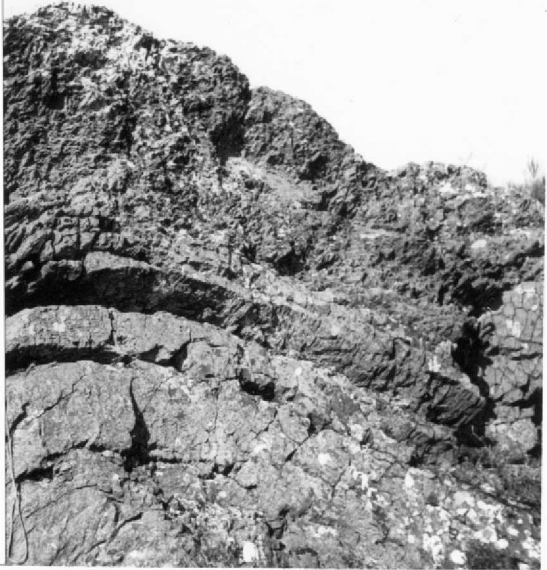
Afloramiento de cuarcita Armoricana en bancos masivos y tableados hacia el techo. Dirección 140° E. subverticales. Al fondo señalado con una flecha, crestón de cuarcitas en flanco invertido.  
Estación 920.



Pequeño enclave de roca granuda (algo mayor que lo que comprende la fotografía), en el borde occidental de la Hoja.  
Estación 930.



Lineación de intersección en esquistos azules del Llandeilo. La intersección es debida al cruce de dos esquistosidades, una primera de dirección  $120^{\circ}$  E, y buzamiento subvertical, y una segunda de crenulación con buzamiento de  $20$  a  $30^{\circ}$  W.  
Estación 951.



Vista estereográfica de una charnela de pliegue con cabeceo de  $30^{\circ}$  N, en pizarras azules de la serie infraordovicica. Se aprecia claramente una marcada esquistosidad de plano axial subvertical, que intercepta los planos subhorizontales y ligeramente curvados en pliegue anticlinal, de la estratificación.  
Estación 952.



Cuarcita Armoricana en una charnela de eje subvertical y esquistosidad subvertical de dirección aproximadamente  $90^{\circ}$  E, abriéndose ligeramente en abanico (Ladera sur del vértice Vidual).  
Estación 960.



Charnela de pliegue con eje verticalizado y esquistosidad a  $90^{\circ}$  E. Cumbre del vértice Vi-dual. (Cuarcita Armoricana).  
Estación 962.



Panorámica de una ladera, en la margen derecha del río Sil, formada por esquistos azules pizarrosos y crenulados, del tramo de serie Cambrordovicáica próxima al contacto con el "Ollo de Sapo". La esquistosidad buza  $70^{\circ}$  E de dirección.  
Estación 970.



Dos perspectivas del tramo de alternancias de cuarcitas, areniscas cuarcíticas y pizarras azules, de la serie ~~C~~ordovílica en las cercanías del río Sil. En este punto la esquistosidad mantiene 140° E de dirección y 70° w de buzamiento.  
Estaciones 971 y 972.



Repliegues en niveles cuarcíticos de la serie Cámbrico-ordovícica. Las charnelas presentan ejes de dirección 120° E y cabeceo de 30° W.  
Estación 974.



Detalle de micropliegues de calcita siguiendo el cabeceo de 30° W. general a las estructuras de esta zona. En la parte superior de la fotografía se aprecia la relación esquistosidad-estratificación dando criterio de flanco normal, próximo a una charnela.  
Estación 976.



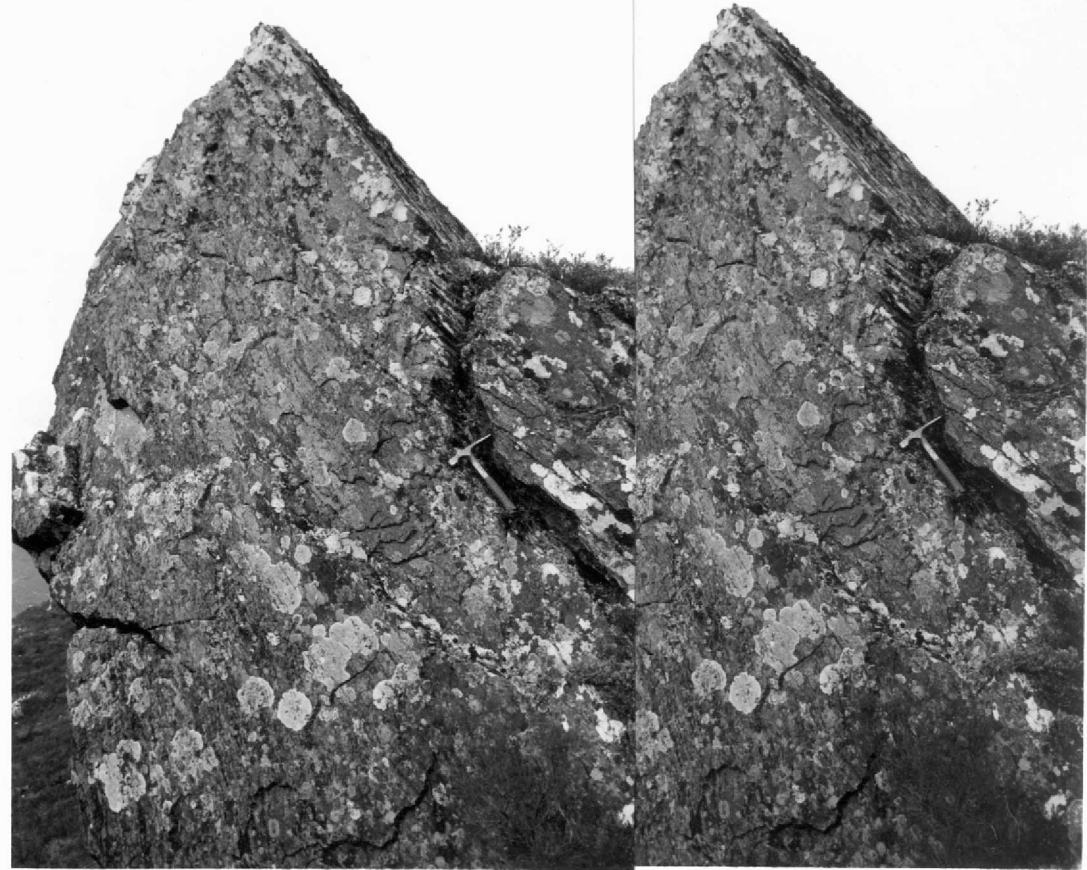
Charnela anticinal en la cuarcita Armoricana. La vergencia general de las estructuras es en esta zona hacia el Oeste. Se puede observar una esquistosidad de plano axial buzando tambien al W.  
Estación 1022.



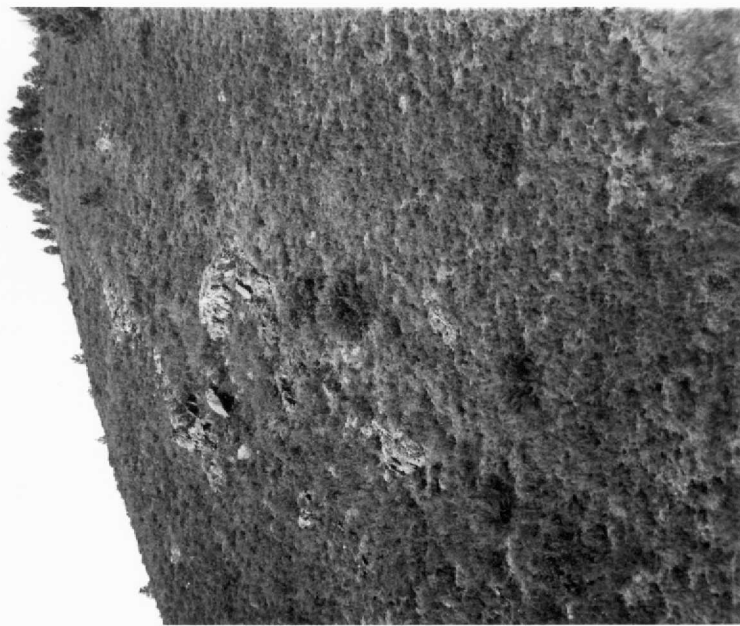
Aspecto general del contacto entre la formación porfiroides "Ollo de Sapo" (por debajo de la linea de puntos) y la serie esquisto-cuarcítica de ~~tránsito~~ ~~Carbónico~~ y Ordovícico (Margen derecho del Rio Sil).  
Estación 988.



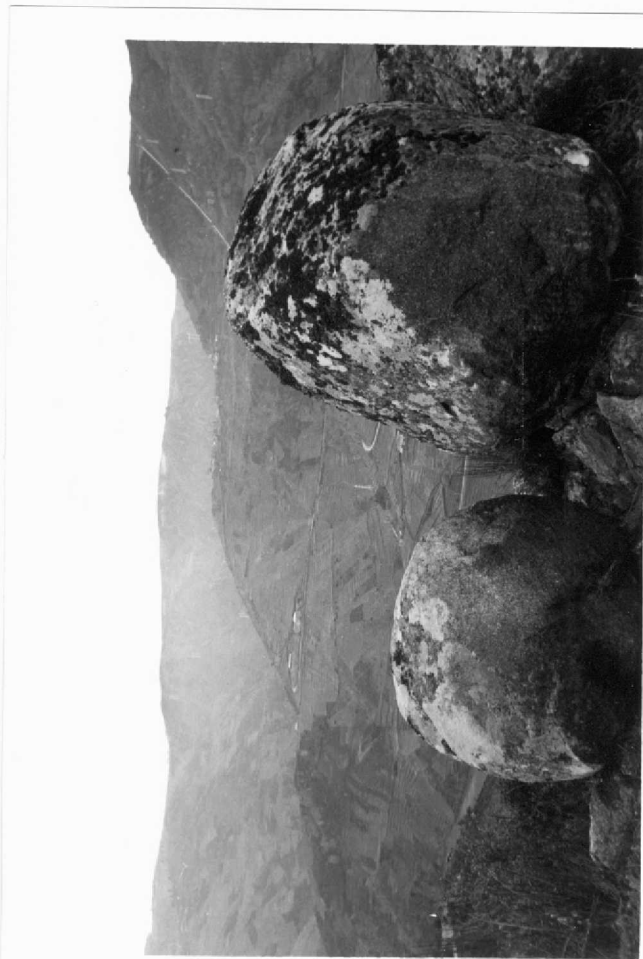
En primer plano traza de las capas de cuarcita Armoricana en flanco normal de sinclinal.  
En segundo término serie de cuarcitas y cuarcitas arenosas. del Tre mado c  
Estación 1023.



Par estereográfico mostrando un pliegue en materiales esquisto-cuarcíticos de la serie ~~Guadalupe~~-Ordovícica. La esquistosidad de plano axial tiene  $130^{\circ}$  E de dirección y  $70^{\circ}$  N de buzamiento, mientras que la estratificación indica un cabeceo de  $28-30^{\circ}$  N. del eje del pliegue. Además existe aquí una segunda esquistosidad de crenulación de dirección  $130^{\circ}$  E y subvertical.  
Estación 980.



Replegues en un nivel de cuarcita (Arening) en el flanco norteal del gran sinclinal de Monforte.  
Estación 1109.



Formas de alteración en los granitos de la margen derecha del Río Sil.  
Estación 1086.



IZQ.

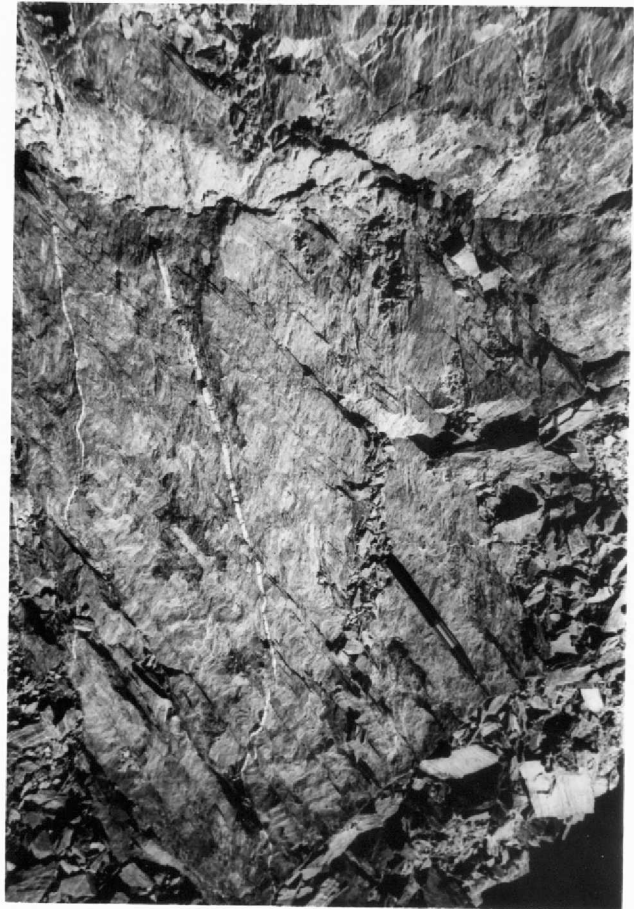


DCHA.

Charnela en la cuarcita Armoricana. La curvatura se recupera rápidamente, resultando ser una inflexión, debida a la 2<sup>a</sup> fase de replegamiento,  
dentro de un flanco normal.  
Estación 922.



Aspecto general del flanco normal, más oriental, del sinclinorio de Monforte. Las capas visibles en la fotografía corresponden a la cuarcita armoricana.  
Estación 1110.



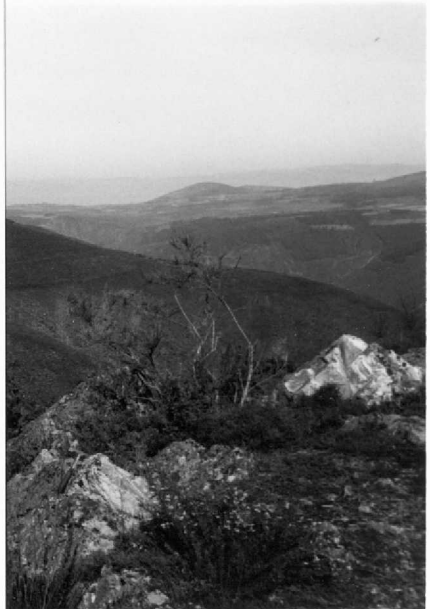
Pizarras azules del tramo infraordovícico. La esquistosidad ( $S_1$ ) de dirección  $155^{\circ}$  y buzamiento  $60^{\circ} W$ , se encuentra intensamente crenulada por ( $S_2$ ) de dirección  $55^{\circ}$  y buzamiento  $40^{\circ} N$ .  
Estación 1112.



Esquistos azulados por debajo de la cuarcita armoricana. La esquistosidad de crenulación es muy marcada, dando, al interferir con la esquistosidad primaria ( $S_1$ ) este aspecto reticulado a la roca.  
Estación 1113.



Pequeña charnela en cuarcita armoricana dentro de un flanco normal. (Cerca de la localidad de Cándada).  
Estación 1127.



Par estereográfico que muestra en primer término un crestón de cuarcita armoricana de dirección  $155^{\circ}$ , y buzamiento  $55^{\circ}$  W, que se sigue en las laderas del fondo, formando el flanco normal del sinclinal de Villar de Moñros.  
Estación 1125.



Diclasado debido a la esquistosidad ( $S_1$ ) sobre un banco de cuarcita armoricana (cercañas de Ceceda).  
Estación 1128.



Aspecto general de las pizarras infraordovícicas en el barranco del Arroyo de S. Juan, cerca de Valdeboleo.  
Estación 1136.

20189